

## استفاده از نشانگر تک نوکلئوتیدی MT1XT20 برای تشخیص ناپایداری میکروستلایت در بیماران ایرانی مبتلا به سرطان کولون ارثی غیر پولیپی (HNPCC)

نجمه فراهانی<sup>۱</sup>، دکتر پروانه نیکپور<sup>۲</sup>، دکتر محمدحسن امامی<sup>۳</sup>، دکتر مرتضی هاشمزاده<sup>۴</sup>، مهرداد زینلیان<sup>۵</sup>، دکتر رسول صالحی<sup>۶</sup>

### مقاله پژوهشی

چکیده

**مقدمه:** سرطان‌های بدخیم کولورکتال، چه در صورت تکی و چه در صورت خانوادگی، اگر با افزایش میزان ناپایداری در میکروستلایت همراه باشند، پیش‌آگهی بهتری دارند، راهکار متفاوتی برای جراحی در آن‌ها اتخاذ می‌شود و پاسخ متفاوتی نسبت به داروی شیمی‌درمانی 5FU (Fluorouracil) خواهد داد. بنا بر این، امروزه برای بیماران مبتلا به سرطان کولورکتال ارثی و غیر ارثی، آزمایش سنجش وضعیت ناپایداری میکروستلایت انجام می‌شود. هدف این مطالعه، سنجش کارایی نشانگر تک نوکلئوتیدی MT1XT20 در جمعیت بیماران مبتلا به سرطان کولون ارثی غیر پولیپی (HNPCC) یا کشور ایران (Hereditary nonpolyposis colorectal cancer) استفاده از آن‌ها بر نشانگر پیش‌گفته، از دو روش بررسی وضعیت میکروستلایت با پنل ۵ نشانگری و استاندارد Promega و نیز آزمایش ایمنوهیستوشیمیابی استفاده شد.

**روش‌ها:** در این مطالعه، نشانگر تک نوکلئوتیدی MT1XT20 و کیت استاندارد Promega از طریق روش PCR (Polymerase chain reaction) بر روی خانواده‌ی مبتلا به HNPCC ایرانی مورد سنجش قرار گرفت و آزمایش ایمنوهیستوشیمیابی نیز برای بررسی وضعیت ۴ پروتئین مهم دخیل در مسیر ترمیم ناجور جفت شدگی مورد استفاده قرار گرفت.

**یافته‌ها:** در روش سنجش ناپایداری میکروستلایت از طریق پنل MT1XT20 Promega و نشانگر تک نوکلئوتیدی MT1XT20 به ترتیب ۸ (۴۰ درصد) و ۵ نمونه (۲۵ درصد) از ۲۰ نمونه وضعیت ناپایداری نشان دادند. در روش ایمنوهیستوشیمیابی نیز، ۷ نمونه از ۲۰ نمونه (۳۵ درصد) وضعیت کمبود پروتئین ناجور جفت شدگی را نشان دادند. در میان نشانگرهای مورد استفاده در کیت BAT26 Promega، نشانگر BAT26 ناپایدارترین نشانگر بود و در هر ۸ نمونه، MSI-H (MSI-H) تشخیص داده شده توسط کیت Promega ناپایداری نشان داد. نشانگرهای NR21 و NR24 در ۷ نمونه (۸۷/۵ درصد) ناپایداری نشان دادند و نشانگرهای MONO27 و BAT25 به ترتیب با نشان دادن ناپایداری در ۶ (۷۵/۰ درصد) و ۵ نمونه (۶۲/۵ درصد)، پایدارترین نشانگرها بودند.

**نتیجه‌گیری:** در جمیت ایتالیایی، به عنوان نشانگر تک نوکلئوتیدی مورد اعتماد ارزیابی شده است، اما این مسئله در رابطه با جمعیت ایرانی صدق نمی‌کند. در عوض، BAT26 با نشان دادن ناپایداری در تمام نمونه‌های MSI-H ارزیابی شده توسط کیت Promega می‌تواند به عنوان نشانگری موثق و قابل مقایسه با پنل ۵ نشانگری Promega در جمیت ایرانی در نظر گرفته شود.

**وازگان کلیدی:** سرطان کولون ارثی غیر پولیپی، ناپایداری میکروستلایت، MT1XT20، تکرارهای شبه مونومورفیک

**ارجاع:** فراهانی نجمه، نیکپور پروانه، امامی محمدحسن، هاشمزاده مرتضی، زینلیان مهرداد، صالحی رسول. استفاده از نشانگر تک نوکلئوتیدی MT1XT20 برای تشخیص ناپایداری میکروستلایت در بیماران ایرانی مبتلا به سرطان کولون ارثی غیر پولیپی (HNPCC). مجله دانشکده پزشکی اصفهان ۱۳۹۴؛ ۳۳: ۲۱۲۰-۲۱۳۰.

- ۱- دانشجوی کارشناسی ارشد، گروه ژنتیک و بیولوژی مولکولی، دانشکده‌ی پزشکی و کمیته‌ی تحقیقات دانشجویی، دانشگاه علوم پزشکی اصفهان، اصفهان، ایران
- ۲- استادیار، گروه ژنتیک و بیولوژی مولکولی، دانشکده‌ی پزشکی، دانشگاه علوم پزشکی اصفهان، اصفهان، ایران
- ۳- دانشیار، مرکز تحقیقات گوارش پورسینای حکیم، مؤسسه پژوهشی پورسینای حکیم و دانشگاه علوم پزشکی اصفهان، اصفهان، ایران
- ۴- استاد، مرکز تحقیقات سلوی و مولکولی، دانشگاه علوم پزشکی شهرکرد، شهرکرد، ایران
- ۵- دانشجوی دکتری، مرکز تحقیقات سلوی و مولکولی، دانشگاه علوم پزشکی شهرکرد، شهرکرد، ایران
- ۶- دانشیار، گروه ژنتیک و بیولوژی مولکولی، دانشکده‌ی پزشکی، دانشگاه علوم پزشکی اصفهان، اصفهان، ایران

Email: r\_salehi@med.mui.ac.ir

نویسنده‌ی مسؤول: دکتر رسول صالحی

نیز در همراهی با آن استفاده می‌گردد (۱۳-۱۴). در سال ۱۹۷۷ مؤسسه‌ی بین‌المللی سرطان (National cancer institute)، پنل پنج نشانگری Bethesda را برای بررسی وضعیت ناپایداری میکروستلایت ارایه نمود که متشکل از دو نشانگر تک نوکلئوتیدی و سه نشانگر دو نوکلئوتیدی بود (۱۵). در سال ۲۰۰۴ برای افزایش اعتبار پنل ارایه شده، پنلی متشکل از پنج نشانگر تک نوکلئوتیدی ارایه شد که پنل Promega نام گرفت (۱۶). امروزه این پروتکل استاندارد، برای بررسی وضعیت بیماران مشکوک به سندرم Lynch که از طریق معیارهای آمستردام/Amsterdam and/or Bethesda criteria) (Bethesda criteria) انتخاب شده‌اند، به کار می‌رود (۱۷-۱۸). به هر حال، این روش به دلیل نیاز به بررسی هم‌زمان چند نشانگر هژینه‌بر و زمان‌بر است و انجام آن در تمام آزمایشگاه‌ها ممکن پذیر نیست (۱۹). بنا بر این، تلاش‌هایی برای یافتن روشی ساده‌تر و کم‌هزینه‌تر با حساسیت و اختصاصی مشابه به پنل‌های چند نشانگری صورت گرفت و منجر به معرفی نشانگرهاش تک نوکلئوتیدی مختلف در چندین مطالعه شد (۲۰-۲۱). از بین این نشانگرهاش شبه مونو مورفیک، دو نشانگر BAT25 و BAT26 شناخته شده‌ترین نشانگرها هستند (۲۲، ۲۳). در پژوهشی، چهار نشانگر تک نوکلئوتیدی SEC63، PTHL3 و HPDMPK و U79260 معرفی شدند (۲۳). در مطالعه‌ای دیگر، نشانگر تک نوکلئوتیدی دیگری تحت عنوان CAT25 در منطقه‌ی ترجمه نشدنی ۳' ژن CASP2 ارایه گردید (۲۴). نشانگر CAT25 در مقایسه با پنل استاندارد ارایه شده توسط مؤسسه‌ی بین‌المللی سرطان، حساسیت و اختصاصیت بالایی را نشان می‌داد (۲۴-۲۵).

Morandi و همکاران نشانگر تک نوکلئوتیدی MT1XT20 را در منطقه‌ی ترجمه نشدنی ۳' ژن MT1X ارایه گردند که در مقایسه با CAT25 و سایر نشانگرهاش تک نوکلئوتیدی، از حساسیت و اختصاصیت بالاتری برخوردار بود (۲۶). هدف از این مطالعه، ارزیابی حساسیت و اختصاصیت نشانگر MT1XT20 در مقایسه با پنل Promega و آزمایش IHC در بیمارانی بود که از طریق معیار آمستردام II انتخاب شده بودند. در این مطالعه، بررسی وضعیت ناپایداری میکروستلایت از طریق پنل Promega به عنوان روش استاندارد طلایی (Gold standard method) اتخاذ شد.

## روش‌ها

جمعیت مطالعه: از ۱۱۵۹ بیمار مبتلا به سرطان کورکتال از دو استان اصفهان و چهارمحال و بختیاری که در مرکز تحقیقات پورسینای حکیم اصفهان ثبت نام به عمل آورده بودند، درخواست شد تا به پرسشنامه‌ی مربوط پاسخ دهند. این پرسشنامه، حاوی سؤالاتی در

## مقدمه

سندرم Lynch که به عنوان سرطان کولون ارثی غیر‌پولیپی (Hereditary nonpolyposis colorectal cancer HNPCC) یا HNPCC نیز شناخته می‌شود، شایع‌ترین شکل ارثی سرطان کولون (۱) با توارث اتوزومی غالب است (۲). در این سرطان ارثی، یک یا چند جهش در رده‌ی زاینده و در ژن‌های دخیل در مسیر ترمیم ناجور جفت شدگی (Mismatch repair MMR) یا MSI-H (Microsatellite instability high) می‌باشد (۳).

در سال ۱۹۹۳ مشخص شد که فقدان عملکرد ژن‌های دخیل در مسیر ترمیم ناجور جفت شدگی، منجر به پدیده‌ی ناپایداری میکروستلایت در تومورهای دارای این نقص می‌گردد (۴-۵). توالی‌های میکروستلایت در سراسر ژنوم پراکنده‌اند و متشکل از تکرارهای ۱-۶ جفت یا زی ہستند و پلی‌مورفیسم بسیار بالایی را نشان می‌دهند (۶-۷). در برخی از تومورها، نیم یا بیش از نیمی از میکروستلایت‌ها دچار ناپایداری می‌شوند که تحت عنوان ناپایداری MSI-H (Microsatellite instability high) شناخته می‌شود. می‌توان گفت که سنجهش پایداری میکروستلایت (Microsatellite instability testing) روشی بسیار خوب و آسان برای بررسی فقدان پروتئین‌های سیستم MMR می‌باشد (۸).

در بیماران مبتلا به سندرم Lynch احتمال رخداد مجدد تومورهای کولون وجود دارد (۹) و این بیماران، علاوه بر تومور کولون در معرض خطر برای ابتلا به سایر تومورها نظیر تومور اندومتر و با احتمال کمتر تومورهای تخدمان، معده، مثانه، پانکراس و مغز می‌باشند. علاوه بر این، خانواده‌ی این افراد، در معرض خطر ابتلا به سرطان‌های مشابه هستند (۱). سرطان‌های کولونی که وضعیت ناپایداری میکروستلایت را نشان می‌دهند، نسبت به سایر سرطان‌های کولون، پیش‌آگهی بهتری دارند؛ اما در صورت استفاده از شیمی درمانی یاری گر (5FU adjuvant chemotherapy (Fluorouracil)) این پیش‌آگهی کاهش می‌یابد (۱۰-۱۱). همچنین، در این بیماران، شیوه‌ی جراحی متفاوتی اتخاذ می‌شود (۱۲).

بنا بر این، بررسی وضعیت ناپایداری میکروستلایت، یک روش مستقل پیش‌بینی کننده است که منجر به مدیریت بهتر سندرم Lynch خواهد شد و در اغلب موارد، به عنوان بهترین و اولین روش برای شناسایی این بیماران به کار گرفته می‌شود (۱۲، ۱۰). از آزمایش ایمنوهیستوشیمیابی (IHC) Immuno histo chemistry یا IHC نیز برای بررسی وضعیت بیان ژن‌های دخیل در مسیر ترمیم ناجور جفت شدگی و غربال‌گری بیماران مبتلا به سندرم Lynch استفاده می‌شود. با این حال، به دلیل وجود برخی محدودیت‌ها در انجام آزمایش (Microsatellite instability) MSI

نمونه‌های دارای ناپایداری در یک یا دو نشانگر و نمونه‌های فاقد ناپایداری در نشانگرها نیز در گروه نمونه‌های MSI-(MSI-L/MSS) قرار گرفتند.

ارزیابی وضعیت MSI با استفاده از نشانگر تک نوکلئوتیدی MT1XT20 نشانگر تک نوکلئوتیدی MT1XT20 از طریق واکنش PCR در نمونه‌های مبتلا به تومور و بافت سالم مجاور آن‌ها در حجم  $\mu\text{l}$  ۲۵ و بر طبق شرایط زیر تکثیر شد: محلول واکنش PCR حاوی  $100\text{ ng}$  از  $10\text{ }\mu\text{l} \cdot \text{DNA}$ ،  $10\text{ }\mu\text{l} \cdot 10\text{X mM Taq}$ ،  $0.2\text{ mM MgCl}_2$  و  $0.5\text{-CCA AGTGCATATAACCAGTGA-3'}$  Forward و  $5'\text{-CAGCTGTGCTCTAGATGTAAA-3'}$  Reverse dNTP (Deoxynucleotide triphosphate) واحد آنزیم پلیمراز Taq و  $0.5\text{ mM SpeedVac}$  در دستگاه Eppendorf سپس، تیوب‌ها در دستگاه PCR متعلق به شرکت آلمانی قرار گرفت و مراحل PCR انجام شد. دناتوراسیون اولیه در دمای  $95^\circ\text{C}$  و به مدت ۵ دقیقه انجام گرفت و با  $70^\circ\text{C}$  چرخه‌ی  $30^\circ\text{C}$  دمای  $58^\circ\text{C}$ ،  $95^\circ\text{C}$  و  $72^\circ\text{C}$  دنبال شد. مرحله‌ی پایانی طویل‌سازی نیز در دمای  $72^\circ\text{C}$  و به مدت ۱۰ دقیقه انجام گرفت. انتهای  $5'$  پراپایرم Reverse، توسط رنگ فلورسنت Cy5 نشان‌دار شده بود. اندازه‌ی دقیق هر کدام از آلل‌ها توسط دستگاه Automated laser fluorescence express DNA sequencer (ALF express) و نرم‌افزار AlleleLinks (توصیه شده توسط شرکت سازنده‌ی دستگاه) و از طریق مقایسه با نشانگر اندازه‌ی (Size marker).

انجام آزمایش ایمنوہیستوشیمیایی: از هر کدام از نمونه‌های مبتلا به تومور و بافت طبیعی مجاور آن‌ها، حداقل ۴ اسلاید تهیه شد. ارزیابی بیان پروتئین‌های سیستم MMR شامل MLH1، MSH2، MSH6 و PMS2 بر روی برش‌هایی با ضخامت  $1\text{--}2\text{ }\mu\text{m}$  انجام گرفت. پس از پارافین‌زدایی نمونه‌ها در گزیلن و رهیدراسیون آن‌ها با استفاده از اتانول  $90^\circ\text{C}$ ،  $70^\circ\text{C}$  درصد، مرحله‌ی بازیابی آنتی‌ژن در EDTA-Tris اتاق فشار و در مایکروویو با استفاده از  $20^\circ\text{C}$  دقیقه انجام شد. سپس، برش‌ها در  $\text{dH}_2\text{O}$  (Distilled water) شستشو شدند. نمونه‌ها به منظور خشی سازی پروکسیدازهای اندوژن برای مدت حداقل ۵ دقیقه در هیدروژن پراکسیداز انکوبه شدند و سپس دو بار و هر بار به مدت ۵ دقیقه در  $20^\circ\text{C}$  دقیقه انجام شد. نمونه‌ها به منظور خشی سازی جلوگیری از رنگ‌آمیزی غیر اختصاصی، هر برش به مدت ۵ دقیقه تحت تیمار با محلول بلوکه کننده‌ی پروتئین قرار گرفت. سپس، بلوک‌ها دو بار و هر بار به مدت ۵ دقیقه در TBS شستشو شدند. در مرحله‌ی بعد، آنتی‌بادی‌های اولیه‌ی

رابطه با سابقه‌ی خود فرد یا خانواده‌اش در ابتلا به سرطان کولون و سایر سرطان‌ها بود. از تمامی بیماران شرکت کننده در مصاحبه، رضایت‌نامه‌ی کتبی دریافت شد. اطلاعات ۴۰ بیمار از ۱۱۵۹ بیمار مورد مطالعه با معیارهای آمستردام II مطابقت داشت و در نهایت، ۲۰ بیماری که نمونه‌ی تومور و بافت طبیعی مجاور آن‌ها در دسترس بود، مورد بررسی‌های بعدی قرار گرفتند. این مطالعه توسط کمیته‌ی اخلاقی دانشگاه علوم پزشکی اصفهان مورد تأیید قرار گرفت.

استخراج DNA ژنومی: استخراج DNA از  $40\text{ }\mu\text{g}$  بافت ثبیت شده (Formalin fixed paraffin embedded) با فرمالین و پارافینه شده بر طبق پروتکل انجام شد (۲۷). در ابتدا به منظور پارافین‌زدایی، دو برش  $10\text{ }\mu\text{m}$  از هر بافت به همراه  $1\text{ ml}$  گزیلن داخل یک تیوب Eppendorf تمیز با حجم  $1/5\text{ }\mu\text{l}$  به مدت  $15$  دقیقه انکوبه شد. سپس، تیوب‌ها با شتاب  $13000\text{ rpm}$  و برای مدت  $5$  دقیقه سانتریفیوژ شدند. آن گاه، رهیدراسیون بافت به ترتیب با استفاده از اتانول  $90^\circ\text{C}$  و  $70^\circ\text{C}$  درصد انجام شد. پس از حذف الكل از بافت‌ها در کانسٹریتور SpeedVac و در دمای  $45^\circ\text{C}$  با غلظت  $1\text{ mg/ml}$  (Sodium dodecyl sulfate) درصد،  $1\text{ }\mu\text{l}$  از پروتئیناز k Chelex20 به هر کدام از  $20\text{ }\mu\text{l}$  و دانه از  $20\text{ mg/ml}$  میکروتیوب‌ها اضافه شد و نمونه‌ها به مدت یک شب در دمای  $55^\circ\text{C}$  در حمام آب گرم انکوبه شدند تا هضم آنزیمی صورت گیرد. سپس، نمونه‌ها سانتریفیوژ شدند و سوپرناتانت آن‌ها در تیوب جدیدی گرداوری شد و با استفاده از روش فل کلروفرم استخراج به صورت دستی انجام گرفت.

واکنش پلیمرازهای زنجیری (Multiplex PCR) برای سیستم تشخیص ناپایداری میکروستلاتیت Promega کیت ارزیابی ناپایداری میکروستلاتیت Promega از پنج نشانگر شبه مونو مورفیک (NR-21، BAT-26، BAT-24، NR-24 و NR-27) به منظور تشخیص وضعیت میکروستلاتیت تشکیل شده است. این کیت همچنین حاوی دو نشانگر پنج نوکلئوتیدی (Penta C و Penta D) به عنوان آشکارساز نمونه می‌باشد تا از اشتباه شدن Multiplex PCR احتمالی نمونه‌ها جلوگیری به عمل آورد. مراحل آورده از دستورالعمل شرکت Promega به انجام رسید. سپس، نمونه‌های تکثیر شده در مرحله‌ی قبل توسط دستگاه ABI PRISM 3100 Genetic Analyzer مورد بررسی قرار گرفت و پیک‌های ایجاد شده با استفاده از نرم‌افزار GeneMapper 3.7 (پیشنهاد شده توسط شرکت سازنده) مورد تفسیر قرار گرفتند. هر گونه ناهمخوانی اندازه و شکل بین آلل طبیعی و آلل مبتلا به تومور، به عنوان ناپایداری میکروستلاتیت در نظر گرفته شد و نمونه‌هایی با بیش از دو نشانگر ناپایدار از پنج نشانگر، در گروه نمونه‌های MSI-H قرار گرفتند.

پنل Promega برای بررسی وضعیت میکروستلایت به نمونه‌ی مبتلا به تومور و همچنین به نمونه‌ی طبیعی مجاور آن احتیاج است. نشانگر تک نوکلئوتیدی کیت Promega و دو نشانگر پسنج Multiplex PCR ارزیابی شدند (شکل ۱). در میان ۲۰ نمونه‌ی مبتلا به تومور، ۸ نمونه (۴۰ درصد) ناپایداری بالایی را در نشانگرها نشان دادند و در گروه MSI-H قرار گرفتند و ۱۲ نمونه‌ی دیگر (۶۰ درصد) وضعیت ناپایداری انداز و یا پایداری کامل در نشانگرها را نشان دادند و در گروه MSI-L/MSS قرار گرفتند. در بین این نشانگرهای شبه مونو مورفیک، BAT26 با نشان دادن ناپایداری در هر ۸ تومور MSI-H به عنوان ناپایدارترین نشانگر شناخته شد (۴۰ درصد). هر دو نشانگر NR21 و NR24 در ۷ نمونه (۳۵ درصد) ناپایداری نشان دادند و BAT25 و MONO27 به ترتیب در ۶ نمونه (۳۰ درصد) و ۵ نمونه (۲۵ درصد) ناپایداری نشان دادند.

نتایج واکاوی نشانگر MT1XT20: محصولات نشان دار شده با فلورستن حاصل از واکنش PCR این نشانگر، با استفاده از دستگاه Automated fragment analyzer مورد ارزیابی قرار گرفتند. هر گونه تغییر در الگو با اندازه‌ی پیک‌های نمونه‌ی مبتلا به تومور نسبت به پیک‌های نمونه‌ی طبیعی مجاور آن، به عنوان ناپایداری میکروستلایت در نظر گرفته شد (شکل ۲). در این مطالعه، برای نشانگر MT1XT20، چهار نوع آلل با طول‌های ۱۸۵-۱۹۰ bp پیدا شد. در مقایسه با کیت Promega که به عنوان روش استاندارد طلایبی در این آزمون تحت بررسی قرار گرفت، نشانگر MT1XT20 توансست ۵ نمونه از ۸ نمونه‌ی MS-H را به عنوان نمونه‌ی دارای MSS ناپایداری میکروستلایت شناسایی کند و همه‌ی نمونه‌های شناسایی شده توسط این کیت، با استفاده از این روش نیز وضعیت مشابه نشان دادند.

نتایج آزمایش ایمنوھیستوشیمیابی: از میان ۲۰ خانواده که از طریق معیارهای آمستردام II انتخاب شدند، ۷ پروباند (۳۵ درصد) در حداقل یکی از پروتئین‌های مربوط به سیستم ترمیم ناجور جفت شدگی شان وضعیت عدم بیان نشان دادند و در گروه IHC-A یا IHC-absent طبقه‌بندی شدند. ۱۳ پروباند باقی مانده در هیچ یک از پروتئین‌های مسیر MMR نقصی نداشتند و در گروه IHC-P یا IHC-present group IHC-present group IHC-absent قرار گرفتند (شکل ۳). از میان ۷ نمونه‌ی ۴ نمونه (۷۵ درصد) برای هر دو پروتئین MLH1 و IHC-A وضعیت عدم رنگ پذیری نشان دادند و ۲ نمونه PMS2 و ۲ نمونه (۲۸/۵ درصد) نیز برای پروتئین‌های MSH2 و MSH6 چنین وضعیتی را نشان دادند. تنها ۱ نمونه از ۷ نمونه (۱۴ درصد) فقدان پروتئین MSH6 را نشان می‌داد.

محاسبه‌ی حساسیت، اختصاصیت و ارزش پیش‌بینی مثبت: در

NCL-L-MSH6, NCL-L-MLH1, NCL-MSH2 و NCL-L-PMS2 (ساخت شرکت Leica Biosystems) به هر کدام از نمونه‌ها اضافه شد و در دمای ۴°C به مدت یک شب انکوبه شدند. آنتی‌بادی اولیه دو بار با استفاده از TBS شسته شد و حذف گردید. سپس، نمونه‌ها به مدت ۳۰ ثانیه، در معرض واکنش‌گر Post primary block قرار گرفتند و دو بار دیگر با استفاده از TBS شستشو شدند. اسلامیدها به مدت ۳۰ ثانیه در پلیمر Novolink انکوبه شدند و باز برای دو بار تحت شستشو با TBS قرار گرفتند و سپس، محلول DAB (3,3'-diaminobenzidine) به آن‌ها اضافه شد. این فرایند، با مراحل رنگ‌آمیزی کتراست، دهیدراسیون نهایی و پاک‌سازی اسلامیدها دنبال شد. ارزیابی اسلامیدها توسط پاتولوژیستی خبره انجام گرفت و نمونه‌ها بر حسب وجود یا فقدان رنگ‌آمیزی MMR هسته‌ای پروتئین‌های MMR در دو گروه دارای نقص (MMR-deficient) و فاقد نقص (MMR-proficient) طبقه‌بندی شدند.

ارزیابی آماری: حساسیت (Sensitivity) و اختصاصیت (Specificity) و ارزش پیش‌بینی مثبت (Positive predictive values) پارامترهای مطالعه شده، با استفاده از نرم‌افزار SPSS نسخه‌ی ۱۹، SPSS Inc., Chicago, IL انجام گرفت.

### یافته‌ها

نوع سرطان، محل سرطان، سن و جنسیت فرد مبتلا در خانواده‌های MMR-deficient و MSI-H فراوان‌ترین سرطان‌های مشاهده شده عبارت از سرطان‌های کولون، معده، روده‌ی کوچک، هماتوپوئیتیک، پروستات و پستان (جدول ۱).

در این خانواده‌ها بیشتر تومورها در مناطق کولون صعودی (Ascending colon) و کولون نزولی (Descending colon) ایجاد شده بودند (جدول ۲). در خانواده‌های MSI-H سرطان هماتوپوئیتیک با فراوانی کمتری مشاهده شد و در عوض، سرطان ریه نیز مشاهده گردید (جدول ۳).

بیشترین منطقه‌ی درگیر در ایجاد تومور در این گروه، سیگموئید (Sigmoid) و رکتوم (Rectum) بود (جدول ۴). سن متوسط بیماران MSI-H در زمان تشخیص تومور، ۳۸/۸ سال (بازه‌ی سنی ۳۱-۴۹) بود و سن متوسط بیماران MSS/MSI-L ۴۶/۵ سال (بازه‌ی سنی ۲۴-۶۴) بود. بیشتر تومورهای MSI-H از نوع آدنومای کم تمايز یافته (Poorly differentiated adenocarcinoma) تا متوسط تمايز (Moderately differentiated adenocarcinoma) بودند (جدول ۵). فراوان‌ترین تومورهای MSI-L/MSS در طبقه‌ی کاملاً تمايز یافته قرار گرفتند.

نشانگر، ۱۰۰ درصد بود. میزان حساسیت، اختصاصیت و ارزش پیش‌بینی مثبت روش ایمنوهیستوشیمیابی نیز محاسبه شد و به ترتیب برابر ۷۵ درصد، ۹۱/۶۷ درصد و ۸۵/۷۱ درصد بود.

مقایسه با کیت Promega به عنوان روش استاندارد طلایی، نشانگر تک نوکلئوتیدی MT1XT20 حساسیتی معادل ۶۲/۵ درصد و اختصاصیتی معادل ۱۰۰ درصد نشان داد و ارزش پیش‌بینی مثبت این

جدول ۱. فراوانی نوع تومور در خانواده‌های ایرانی در معرض خطر سندروم **Lynch** در گروه‌های **MSI-H** و **(Mismatch repair-deficient) MMR-deficient**

نوع سرطان	خانواده‌های <b>MMR-deficient</b>	خانواده‌های <b>MSI-H</b>
فراءوانی (درصد)	فراءوانی (درصد)	فراءوانی (درصد)
سرطان کولون	۴۷ (۶۴/۲)	۲۸ (۶۵/۵)
سرطان روده‌ی کوچک	۲ (۴/۷)	۳ (۷/۰)
سرطان خون	۳ (۷/۱)	۲ (۴/۶)
سرطان معده	۴ (۹/۵)	۲ (۴/۶)
سرطان سینه	۱ (۲/۳)	۲ (۴/۶)
سرطان پروستات	۲ (۴/۷)	۱ (۴/۳)
سرطان ریه	۱ (۲/۳)	۲ (۴/۶)
سایر سرطان‌ها	۲ (۴/۷)	۴۳ (۱۰۰)
جمع کل	۴۲ (۱۰۰)	

MMR-deficient: Mismatch repair-deficient; MSI-H: Microsatellite instability high

جدول ۲. فراوانی منطقه‌ی بروز تومور در خانواده‌های ایرانی در معرض خطر سندروم **Lynch** در گروه‌های **MMR-deficient** و **(Microsatellite instability high) MSI-H**

منطقه‌ی ایجاد تومور	خانواده‌های <b>MMR-deficient</b>	خانواده‌های <b>MSI-H</b>
فراءوانی (درصد)	فراءوانی (درصد)	فراءوانی (درصد)
سکوم	۱ (۱۴/۲)	۱ (۱۲/۵)
کولون صعده‌ی	۲ (۲۸/۵)	۲ (۲۵/۰)
کولون عرضی	۱ (۱۴/۲)	۱ (۱۲/۵)
کولون نزولی	۲ (۲۸/۵)	۲ (۲۵/۰)
کولون سیگموئید	۱ (۱۴/۲)	۱ (۱۲/۵)
رکوم	۰ (۰)	۱ (۱۲/۵)
نامشخص	۰ (۰)	۰ (۰)
جمع کل	۷ (۱۰۰)	۸ (۱۰۰)

MMR-deficient: Mismatch repair-deficient; MSI-H: Microsatellite instability high

جدول ۳. فراوانی نوع تومور در خانواده‌های ایرانی در معرض خطر سندروم **Lynch** در گروه‌های **MMR-proficient** و **(MSI stable/ Microsatellite instability low) MSS/MSI-L**

نوع سرطان	خانواده‌های <b>MMR-proficient</b>	خانواده‌های <b>MSS/MSI-L</b>
فراءوانی (درصد)	فراءوانی (درصد)	فراءوانی (درصد)
سرطان کولون	۲۳ (۳۴/۳)	۲۲ (۳۳/۳)
سرطان روده‌ی کوچک	۴ (۵/۹)	۳ (۴/۵)
سرطان خون	۱ (۱/۴)	۱ (۱/۵)
سرطان معده	۸ (۱۱/۹)	۱۰ (۱۵/۱)
سرطان سینه	۶ (۸/۹)	۵ (۷/۵)
سرطان پروستات	۳ (۴/۴۷)	۳ (۴/۵)
سرطان ریه	۶ (۸/۹)	۶ (۹/۰)
سایر سرطان‌ها	۱۶ (۲۲/۸)	۱۶ (۲۴/۲)
جمع کل	۶۷ (۱۰۰)	۶۶ (۱۰۰)

MSS/MSI-L: MSI stable/ Microsatellite instability low

جدول ۴. فراوانی منطقه‌ی بروز تومور در خانواده‌های ایرانی در معرض خطر سندروم Lynch در گروههای MMR-deficient (Mismatch repair-proficient) MMR-proficient (MSI stable/ Microsatellite instability low)

MSS/MSI-L	خانواده‌های فراوانی (درصد)	MMR-proficient	خانواده‌های فراوانی (درصد)	منطقه‌ی ایجاد تومور
۱ (۸۷)		۱ (۷/۶)		سکوم
۰ (۰)		۰ (۰)		کولون صعودی
۰ (۰)		۰ (۰)		کولون عرضی
۰ (۰)		۰ (۰)		کولون نزولی
۶ (۵۰/۰)		۶ (۴۶/۱)		کولون سیگمتوئید
۴ (۳۳/۳)		۵ (۳۸/۴)		رکتوم
۱ (۸۷)		۱ (۷/۶)		نامشخص
۱۲ (۱۰۰)		۱۳ (۱۰۰)		جمع کل

MMR-deficient: Mismatch repair-proficient; MSS/MSI-L: MSI stable/ Microsatellite instability low

جدول ۵. فراوانی فتوتیپ تومور در خانواده‌های ایرانی مبتلا به سرطان کولون

MSI-H	خانواده‌های فراوانی (درصد)	MSI-L/MSS	خانواده‌های فراوانی	درجہی تومور
۲ (۲۵/۰)		۵ (۴۱/۶)		Well differentiated adenocarcinoma
۳ (۳۷/۵)		۳ (۲۵/۰)		Poorly differentiated adenocarcinoma
۳ (۳۷/۵)		۳ (۲۵/۰)		Moderately differentiated adenocarcinoma
۰ (۰)		۱ (۸۷)		نامشخص
۸ (۱۰۰)		۱۲ (۱۰۰)		جمع کل

MSS/MSI-L: MSI stable/ Microsatellite instability low; MSI-H: Microsatellite instability high

موجود در روش ایمنوهیستوشیمیایی را بر طرف کرده است (۳۰). بر خلاف روش ایمنوهیستوشیمیایی که به تعداد زیبادی برش از نمونه احتیاج دارد، روش ارزیابی MSI بر پایه‌ی PCR استوار است و بنا بر این، با مقادیر اندازی از نمونه نیز قابل انجام می‌باشد. از طرف دیگر، روش MSI در مقایسه با روش ایمنوهیستوشیمیایی به عنوان روشنی غیر مستقیم شناخته شده و نمی‌تواند تعیین کند که کدام پروتئین مسیر MMR دچار نقصان شده است (۳۱).

برای بررسی وضعیت MSI، پنل‌های چند نشانگری متعددی ارایه شده است (۲۰)، اما تلاش برای ارایه نشانگرهای تک نوکلئوتیدی جایگزین، با حساسیت و اختصاصیت مشابه با این پنل‌ها ادامه دارد تا بتوان وضعیت MSI را در زمان کوتاه‌تر و هزینه‌ی کمتر مورد بررسی قرار داد (۳۲-۳۳، ۳۵، ۱۰). در برخی از مطالعات، نشانگر CAT25 حساسیت و اختصاصیت بالایی را در مقایسه با پنل‌های چند نشانگری نشان داد (۲۴-۲۵). استفاده از نشانگر CAT25 به تهایی یا همراه با نشانگر BAT26 به عنوان پنلی ساده برای بررسی وضعیت MSI پیشنهاد شده است (۲۴، ۱۰). در مطالعه‌ای که بر روی بیماران مبتلا به سرطان کولون ایرانی صورت گرفت، میزان دقیق پنج نشانگر مونو مورفیک NR-21، NR-27، NR-21

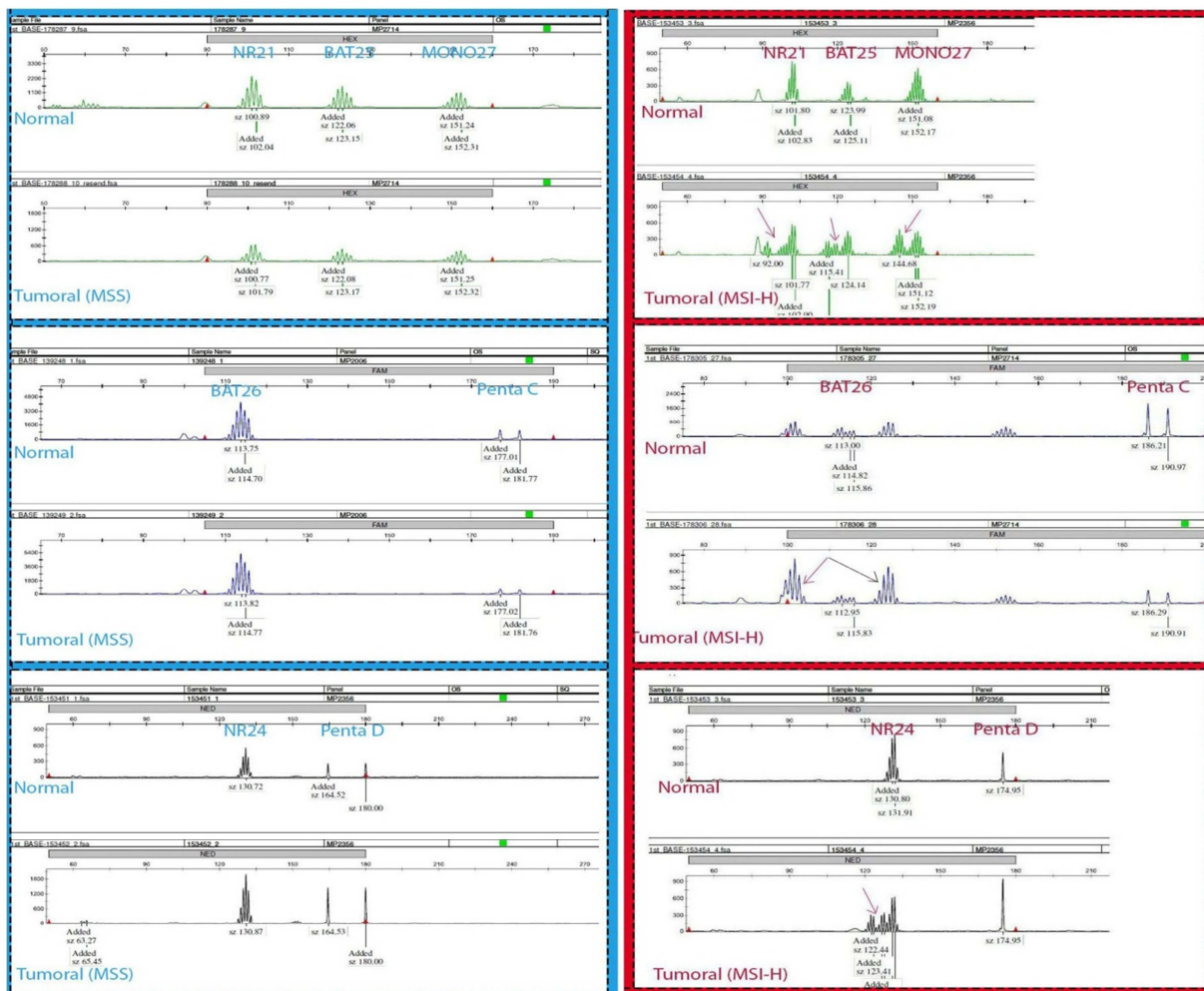
## بحث

به طور سالیانه، ۶-۷/۹ نفر از هر ۱۰۰۰۰ نفر در کشور ایران به سرطان کولون مبتلا می‌گردند که حدود ۴/۹ درصد آن‌ها به عنوان فرد مبتلا به سندروم Lynch شناسایی می‌شوند (۲۸). در حدود ۷۰-۹۰ درصد بیماران مبتلا به سندروم Lynch وضعیت ناپایداری میکروستلایت را نشان می‌دهند (۲۹). سندروم Lynch، نوعی از سندروم سرطان است و به دلیل جهش در ژن‌های دخیل در مسیر ترمیمی ناجور جفت شدگی MSH6، MSH2، MLH1 و PMS2 هستند.

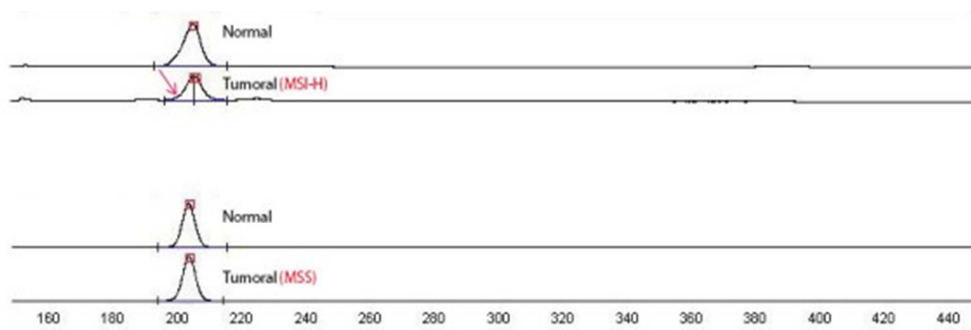
در حال حاضر، استفاده‌ی هم‌زمان از آنالیز ناپایداری میکروستلایت و آزمایش ایمنوهیستوشیمیایی، روشنی موثق و با حساسیت بالا برای غربال‌گری بیماران مبتلا به سندروم Lynch می‌باشد. استفاده از روش ایمنوهیستوشیمیایی به تهایی قادر به تشخیص بیماران مبتلا به Lynch با جهش‌های تغییر چارچوب، جایگاه پیرایش و بازآرایی‌های بزرگ ژنومی نمی‌باشد؛ چرا که در این نوع جهش‌ها، پروتئین تولید می‌شود، اما از کارایی کافی برخوردار نیست (۱۳، ۱۵). روش جایگزین یعنی آنالیز ناپایداری میکروستلایت، که امروزه به عنوان روشنی لازم‌الاجرا شناخته می‌شود، این نقص

سایر پژوهشگران مورد سؤال قرار گرفته است (۳۵) و در عوض، نشانگر BAT26 به عنوان معتبرترین نشانگر برای ارزیابی وضعیت MSI معرفی شده است (۲۱، ۳۶).

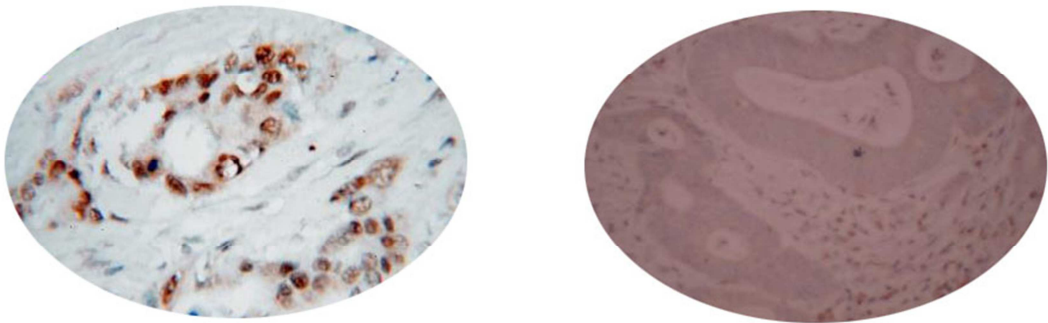
BAT-25 و BAT-26 ارزیابی شد و از میان آنها، دو نشانگر BAT25 و NR-21 به عنوان حساس‌ترین نشانگرها معرفی شدند (۳۴). این در حالی است که کارایی نشانگر BAT25 توسط



شکل ۱. الکتروفروگرام DNA سیستم ارزیابی ناپایداری میکروستلایت Promega (نرم افزار GeneMapper v3.7) و وضعیت پایدار میکروستلایت را در بافت مبتلا به تومور و بافت طبیعی مجاور آن در سمت راست نشان می‌دهد.



شکل ۲. نمونه‌ای از تغییر وضعیت الی (Microsatellite instability high) MSI-H در یک نمونه‌ی MT1XT20



شکل ۳. رنگ آمیزی ایمنوھیستوشیمیایی بافت MMR-deficient (در سمت راست) و بافت MMR-proficient (در سمت چپ) که با استفاده از آنتی بادی MSH2 صورت گرفته است (تحت لنز  $\times 40$  میکروسکوپ)

بیان را تنها در یک پروتئین سیستم MMR (MSH6) نشان داد که می‌توان کم بودن تعداد بیماران دارای نقص در MSH6 را با پدیده‌ی Functional redundancy پروتئین‌های MSH6 و MSH3 توجیه کرد (۲). در مجموع و با توجه به نتایج به دست آمده از هر سه روش سنجش بیماران مشکوک به HNPCC، به نظر می‌رسد استفاده از کیت پنج نشانگری Promega بایستی در اولویت قرار گیرد؛ چرا که از دقت عملکرد بالاتری نسبت به دو روش IHC و سنجش تک نشانگری برخوردار است.

همچنین، در این مطالعه از میان نشانگرهای تک نوکلئوتیدی موجود در پل Promega نشانگر BAT26 به عنوان ناپایدارترین نشانگر شناخته شد؛ چرا که، در ۱۰۰ درصد بیماران MSI-H وضعیت ناپایداری را نشان داد. این در حالی است که نشانگر MONO27 با نشان دادن وضعیت ناپایداری در ۵ نمونه از ۸ نمونه‌ی MSI-H. به عنوان پایدارترین نشانگر شناخته شد. نتایج متناقضی در مطالعات مشابه ایرانی به دست آمده است: یک گروه از پژوهشگران ایرانی با مطالعه بر روی ۸۰ نمونه از بیماران مبتلا به سرطان کولون اسپورادیک، نشانگرهای NR-21 و NR-24 را با ۴۵ درصد ناپایداری به عنوان ناپایدارترین نشانگرها معرفی کردند (۳۷) و گروه دیگر با مطالعه بر روی بیماران مبتلا به سندروم Lynch و سرطان کولون اسپورادیک، نشانگر NR-21 را به عنوان ناپایدارترین نشانگر در هر دو گروه بیماران، به ترتیب با ناپایداری در ۲۵/۶ درصد و ۵۳ درصد معرفی کردند (۳۸). دلیل تفاوت در نتایج به دست آمده در هر کدام از نشانگرهای پل Promga می‌تواند توضیح دهنده‌ی این مسئله باشد که تمام میکروستلایت‌های ژنوم، طی پدیده‌ی نقص در سیستم ترمیم ناجور جفت شدگی، به یک اندازه دستخوش تغییر نمی‌شوند. با این حال، بالا بودن دقت و اعتبار نشانگر BAT26 در مطالعات قبلی و در ژنوم جمعیت‌های مختلف جهان به اثبات رسیده بود (۲۱، ۲۶) و در این مطالعه نیز به اثبات رسید. بنا بر این، می‌توان به این نتیجه

در سال‌های اخیر، Morandi و همکاران، وضعیت MSI را در ۳۴۰ بیمار مبتلا به سرطان کولون از طریق سه واکنش Multiplex PCR و با استفاده از ۱۶ نشانگر بررسی کردند. این نشانگرهای شبه مونومرفیک عبارت از BAT26، BAT25، NR24، NR21، MT1XT20، BAT40، MybT22، TGFBR2، CSF1PO، D18S58، D17S250، D5S346، D2S123، CAT25، MT1XT20 و D18S51 بودند. از میان این نشانگرهای BAT26 حساسیت بالایی را (۹۷/۳ درصد) در مقایسه با نشانگرهای BAT25 (۹۷/۵ درصد) و CAT25 (۹۷/۱ درصد) نشان داد (۲۶). با توجه به وجود نتایج متناقض برخی از مطالعات در رابطه با نشانگر BAT26 در این مطالعه هر دو روش معتبر فعلی غربال‌گری بیماران مبتلا به سندروم Lynch یعنی MSI (شامل نشانگرهای NR24، BAT26، MONO 27 و BAT25) و ایمنوھیستوشیمی به همراه روش تک نوکلئوتیدی MT1XT20 مورد سنجش قرار گرفت. با به کارگیری پل پنج نشانگری Promega ۸ بیمار (۴۰ درصد) از ۲۰ بیمار مبتلا به سرطان کولون که اطلاعات آنها با معیارهای آمستردام II مطابقت داشت، به عنوان MSI-H شناسایی شدند. این در حالی است که با استفاده از روش ارزیابی تک نوکلئوتیدی، تنها ۵ بیمار وضعیت ناپایداری در توالی میکروستلایت را نشان دادند (۲۵ درصد). عدم تطابق نتایج سنجش وضعیت میکروستلایت با استفاده از نشانگر تک نوکلئوتیدی MT1XT20 در مطالعه‌ی جمعیت ایتالیایی و مطالعه‌ی حاضر، بر تفاوت‌های ژنتیکی جمعیت ایرانی و ایتالیایی دلالت دارد.

علاوه بر این، با استفاده از روش سنجش ایمنوھیستوشیمیایی، ۷ نمونه (۳۵ درصد) وضعیت فقدان پروتئین‌های MMR را نشان دادند. ۴ نمونه از این ۷ نمونه دچار نقص در هر دو پروتئین MLH1/PMS2 بودند و ۲ نمونه نیز دارای نقص در پروتئین‌های MSH2/MSH6 بودند. تنها یک نمونه از این ۷ نمونه، وضعیت عدم

### تشکر و قدردانی

این مقاله حاصل پایان نامه دوره کارشناسی ارشد نجمه فراهانی به شماره ۹۹ در دانشگاه علوم پزشکی اصفهان میباشد و هزینه های اجرای آن توسط دانشگاه علوم پزشکی اصفهان تامین گردیده است.

رسید که BAT26 تشانگری بسیار قابل اعتماد برای تشخیص وضعیت MSI است و میتواند چه به صورت تکی و چه به صورت جزیی از پل های تشخیصی، برای روشن ساختن وضعیت MSI بیماران مبتلا به سرطان کولورکتال به کار رود.

### References

1. Lynch HT, Boland CR, Gong G, Shaw TG, Lynch PM, Fodde R, et al. Phenotypic and genotypic heterogeneity in the Lynch syndrome: diagnostic, surveillance and management implications. *Eur J Hum Genet* 2006; 14(4): 390-402.
2. Zeinalian M, Emami MH, Salehi R, Naimi A, Kazemi M, Hashemzadeh-Chaleshtori M. Molecular analysis of Iranian colorectal cancer patients at risk for Lynch syndrome: a new molecular, clinicopathological feature. *J Gastrointest Cancer* 2015; 46(2): 118-25.
3. Boland CR. The mystery of mismatch repair deficiency: lynch or lynch-like? *Gastroenterology* 2013; 144(5): 868-70.
4. Ionov Y, Peinado MA, Malkhosyan S, Shibata D, Perucho M. Ubiquitous somatic mutations in simple repeated sequences reveal a new mechanism for colonic carcinogenesis. *Nature* 1993; 363(6429): 558-61.
5. Thibodeau SN, French AJ, Roche PC, Cunningham JM, Tester DJ, Lindor NM, et al. Altered expression of hMSH2 and hMLH1 in tumors with microsatellite instability and genetic alterations in mismatch repair genes. *Cancer Res* 1996; 56(21): 4836-40.
6. Chaksangchaichot P, Punyarit P, Petmitr S. Novel hMSH2, hMSH6 and hMLH1 gene mutations and microsatellite instability in sporadic colorectal cancer. *J Cancer Res Clin Oncol* 2007; 133(1): 65-70.
7. Tautz D. Hypervariability of simple sequences as a general source for polymorphic DNA markers. *Nucleic Acids Res* 1989; 17(16): 6463-71.
8. Lynch HT, de la Chapelle A. Hereditary colorectal cancer. *N Engl J Med* 2003; 348(10): 919-32.
9. Fukutomi Y, Moriwaki H, Nagase S, Tajika M, Naito T, Miwa Y, et al. Metachronous colon tumors: risk factors and rationale for the surveillance colonoscopy after initial polypectomy. *J Cancer Res Clin Oncol* 2002; 128(10): 569-74.
10. Deschoolmeester V, Baay M, Wuyts W, Van Marck E, Van Damme N, Vermeulen P, et al. Detection of microsatellite instability in colorectal cancer using an alternative multiplex assay of quasi-monomorphic mononucleotide markers. *J Mol Diagn* 2008; 10(2): 154-9.
11. Ribic CM, Sargent DJ, Moore MJ, Thibodeau SN, French AJ, Goldberg RM, et al. Tumor microsatellite-instability status as a predictor of benefit from fluorouracil-based adjuvant chemotherapy for colon cancer. *N Engl J Med* 2003; 349(3): 247-57.
12. Rodriguez-Bigas MA, Moeslein G. Surgical treatment of hereditary nonpolyposis colorectal cancer (HNPCC, Lynch syndrome). *Fam Cancer* 2013; 12(2): 295-300.
13. Shia J. Immunohistochemistry versus microsatellite instability testing for screening colorectal cancer patients at risk for hereditary nonpolyposis colorectal cancer syndrome. Part I. The utility of immunohistochemistry. *J Mol Diagn* 2008; 10(4): 293-300.
14. Ward R, Meldrum C, Williams R, Mokany E, Scott R, Turner J, et al. Impact of microsatellite testing and mismatch repair protein expression on the clinical interpretation of genetic testing in hereditary nonpolyposis colorectal cancer. *J Cancer Res Clin Oncol* 2002; 128(8): 403-11.
15. Boland CR, Thibodeau SN, Hamilton SR, Sidransky D, Eshleman JR, Burt RW, et al. A National Cancer Institute Workshop on Microsatellite Instability for cancer detection and familial predisposition: development of international criteria for the determination of microsatellite instability in colorectal cancer. *Cancer Res* 1998; 58(22): 5248-57.
16. Bacher JW, Flanagan LA, Smalley RL, Nassif NA, Burgart LJ, Halberg RB, et al. Development of a fluorescent multiplex assay for detection of MSI-High tumors. *Dis Markers* 2004; 20(4-5): 237-50.
17. Umar A, Boland CR, Terdiman JP, Syngal S, de la Chapelle A, Ruschoff J, et al. Revised Bethesda Guidelines for hereditary nonpolyposis colorectal cancer (Lynch syndrome) and microsatellite instability. *J Natl Cancer Inst* 2004; 96(4): 261-8.
18. Vasen HF, Watson P, Mecklin JP, Lynch HT. New clinical criteria for hereditary nonpolyposis colorectal cancer (HNPCC, Lynch syndrome) proposed by the International Collaborative group on HNPCC. *Gastroenterology* 1999; 116(6): 1453-6.
19. Patil DT, Bronner MP, Portier BP, Fraser CR, Plesec TP, Liu X. A five-marker panel in a multiplex PCR accurately detects microsatellite instability-high colorectal tumors without control DNA. *Diagn Mol Pathol* 2012; 21(3): 127-33.
20. Buhard O, Cattaneo F, Wong YF, Yim SF, Friedman E, Flejou JF, et al. Multipopulation analysis of polymorphisms in five mononucleotide repeats used to determine the microsatellite instability status of human tumors. *J Clin Oncol* 2006; 24(2): 241-51.
21. Xicola RM, Llor X, Pons E, Castells A, Alenda C, Pinol V, et al. Performance of different microsatellite marker panels for detection of mismatch repair-deficient colorectal tumors. *J Natl Cancer Inst* 2007; 99(3): 244-52.
22. de la Chapelle A. Microsatellite instability phenotype of tumors: genotyping or immunohistochemistry? The jury is still out. *J Clin Oncol* 2002; 20(4): 897-9.
23. Woerner SM, Gebert J, Yuan YP, Sutter C, Ridder R,

- Bork P, et al. Systematic identification of genes with coding microsatellites mutated in DNA mismatch repair-deficient cancer cells. *Int J Cancer* 2001; 93(1): 12-9.
- 24.** Findeisen P, Kloos M, Merx S, Sutter C, Woerner SM, Dostmann N, et al. T25 repeat in the 3' untranslated region of the CASP2 gene: a sensitive and specific marker for microsatellite instability in colorectal cancer. *Cancer Res* 2005; 65(18): 8072-8.
- 25.** Bianchi F, Galizia E, Catalani R, Belvederesi L, Ferretti C, Corradini F, et al. CAT25 is a mononucleotide marker to identify HNPCC patients. *J Mol Diagn* 2009; 11(3): 248-52.
- 26.** Morandi L, de Biase D, Visani M, Monzoni A, Tosi A, Brulatti M, et al. T([20]) repeat in the 3'-untranslated region of the MT1X gene: a marker with high sensitivity and specificity to detect microsatellite instability in colorectal cancer. *Int J Colorectal Dis* 2012; 27(5): 647-56.
- 27.** Pikor LA, Enfield KS, Cameron H, Lam WL. DNA extraction from paraffin embedded material for genetic and epigenetic analyses. *J Vis Exp* 2011; (49).
- 28.** Nemati A, Rahmatabadi ZK, Fatemi A, Emami MH. Hereditary nonpolyposis colorectal cancer and familial colorectal cancer in Central part of Iran, Isfahan. *J Res Med Sci* 2012; 17(1): 67-73.
- 29.** Fishel R. Signaling mismatch repair in cancer. *Nat Med* 1999; 5(11): 1239-41.
- 30.** Boland CR, Goel A. Microsatellite instability in colorectal cancer. *Gastroenterology* 2010; 138(6): 2073-87.
- 31.** Lindor NM, Burgart LJ, Leontovich O, Goldberg RM, Cunningham JM, Sargent DJ, et al. Immunohistochemistry versus microsatellite instability testing in phenotyping colorectal tumors. *J Clin Oncol* 2002; 20(4): 1043-8.
- 32.** Bouzourene H, Taminelli L, Chaubert P, Monnerat C, Seelentag W, Sandmeier D, et al. A cost-effective algorithm for hereditary nonpolyposis colorectal cancer detection. *Am J Clin Pathol* 2006; 125(6): 823-31.
- 33.** Brennetot C, Buhard O, Jourdan F, Flejou JF, Duval A, Hamelin R. Mononucleotide repeats BAT-26 and BAT-25 accurately detect MSI-H tumors and predict tumor content: implications for population screening. *Int J Cancer* 2005; 113(3): 446-50.
- 34.** Haghghi MM, Javadi GR, Parivar K, Milanizadeh S, Zali N, Fatemi SR, et al. Frequent MSI mononucleotide markers for diagnosis of hereditary nonpolyposis colorectal cancer. *Asian Pac J Cancer Prev* 2010; 11(4): 1033-5.
- 35.** Ichikawa A, Sugano K, Fujita S. DNA variants of BAT-25 in Japanese, a locus frequently used for analysis of microsatellite instability. *Jpn J Clin Oncol* 2001; 31(7): 346-8.
- 36.** Esemuedue I, Forslund A, Khan SA, Qin LX, Gimbel MI, Nash GM, et al. Improved testing for microsatellite instability in colorectal cancer using a simplified 3-marker assay. *Ann Surg Oncol* 2010; 17(12): 3370-8.
- 37.** Esmailnia G, Montazer-Haghghi M, Javadi Gh, Parivar K, Zali M. Microsatellite instability markers status in colorectal cancer. *Zahedan J Res Med Sci* 2014; 16(2): 25-8.
- 38.** Shemirani AI, Haghghi MM, Zadeh SM, Fatemi SR, Taleghani MY, Zali N, et al. Simplified MSI marker panel for diagnosis of colorectal cancer. *Asian Pac J Cancer Prev* 2011; 12(8): 2101-4.

## MT1XT20 Single Quasi-Monomorphic Mononucleotide Marker for Detection of Microsatellite Instability in Iranian Patients with Hereditary Nonpolyposis Colorectal Cancer (HNPCC)

Najmeh Farahani<sup>1</sup>, Parvaneh Nikpour PhD<sup>2</sup>, Mohammad Hassan Emami MD<sup>3</sup>,  
Morteza Hashemzadeh PhD<sup>4</sup>, Mehrdad Zeinalian MSc<sup>5</sup>, Rasoul Salehi PhD<sup>6</sup>

### Original Article

#### **Abstract**

**Background:** Colorectal malignancies with high microsatellite instability (MSI-H), either hereditary or sporadic, demonstrate better prognosis, altered response to fluorouracil (5FU) chemotherapy and altered operative approach. It is now recommended to perform MSI testing for all new cases of colorectal cancers regardless of being categorized as hereditary or sporadic. This study aimed to evaluate MT1XT20 mononucleotide marker in Iranian patients with hereditary nonpolyposis colorectal cancer (HNPCC). The samples were further characterized using Promega five-marker MSI testing panel and immunohistochemical (IHC) technique.

**Methods:** MT1XT20 mononucleotide marker and commercially available kit (Promega, USA) incorporating five quasi-monomorphic markers were studied in 20 cases of HNPCC using polymerase chain reaction (PCR) technique. IHC was performed to evaluate the status of all four important mismatch repair (MMR) proteins, too.

**Findings:** Eight (40%), seven (35%) and five (25%) cases showed MSI using Promega kit, IHC and MT1XT20, respectively. Among the markers included in Promega kit, BAT26 marker with instability in all 8 samples (100%) was the most unstable marker. NR24 and NR21 markers showed instability in 7 cases (87.5%); BAT25 and MONO 27 markers were unstable in 6 (75.0%) and 5 (62.5%) specimens, respectively.

**Conclusion:** Although MT1XT20 is considered as a valid single marker in Italian population, it seems this is not hold true about the Iranian patients. Instead, BAT26 among the markers included in Promega MSI testing was shown instability in all 8 samples of MSI-H colorectal cancer (CRC). Therefore, it may be concluded that BAT26 alone is as efficient as the cohort of five markers in Iranian patients.

**Keywords:** Hereditary nonpolyposis colorectal cancer (HNPCC), Microsatellite instability (MSI), MT1XT20, Quasi-monomorphic repeats

**Citation:** Farahani N, Nikpour P, Emami MH, Hashemzadeh M, Zeinalian M, Salehi R. **MT1XT20 Single Quasi-Monomorphic Mononucleotide Marker for Detection of Microsatellite Instability in Iranian Patients with Hereditary Nonpolyposis Colorectal Cancer (HNPCC).** J Isfahan Med Sch 2016; 33(362): 2120-30

1- MSc Student, Department of Genetics and Molecular Biology, School of Medicine AND Student Research Committee, Isfahan University of Medical Sciences, Isfahan, Iran

2- Assistant Professor, Department of Genetics and Molecular Biology, School of Medicine, Isfahan University of Medical Sciences, Isfahan, Iran

3- Associate Professor, Poursina Hakim Gastrointestinal Research Center, Poursina Hakim Research Institution AND Isfahan University of Medical Sciences, Isfahan, Iran

4- Professor, Cellular and Molecular Research Center, Shahrekord University of Medical Sciences, Shahrekord, Iran

5- PhD Student, Cellular and Molecular Research Center, Shahrekord University of Medical Sciences, Shahrekord, Iran

6- Associate Professor, Department of Genetics and Molecular Biology, School of Medicine, Isfahan University of Medical Sciences, Isfahan, Iran

**Corresponding Author:** Rasoul Salehi PhD, Email: r\_salehi@med.mui.ac.ir